



دانشگاه صنعتی شریف

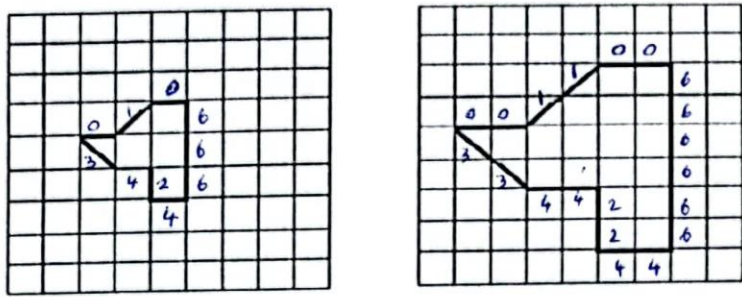
دانشکده مهندسی برق

مسعود ناطقی ۹۶۱۰۲۵۶۷

تمرین پردازش و تحلیل تصاویر پزشکی

دکتر فاطمی زاده

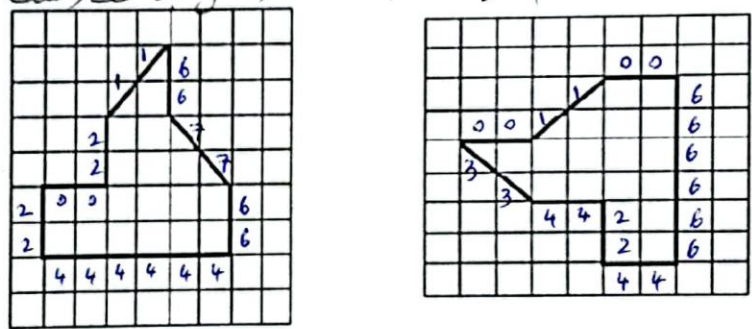
①



الف) بصورت واضح تغییر نقطه شروع تأثیر در کد ندارد. زیرا اعداد که بزرگ آبی مشخص شده اند (جهت‌ها) با تغییر نقطه شروع عوض نمی‌شوند و کار که ما انجام می‌دهیم فقط شifting و تکرار هر یک از این اعداد است.
 با scale کردن اتفاق می‌افتد این است که هر یک از این ها در scale گرام در scale، ضرب می‌شوند.
 بطور مثال: $h_{scale}(2) = scale \times h(2)$

حال کافی است اثر هر جهش را بررسی کنیم. این کار را با استفاده از شکل بالا سمت راست انجام می‌دهیم.

← جهش ۹۰° - عقربه



با دقت در سمت راست متوجه می‌شویم $h(7) = 0$ ، در حالیکه که در شکل سمت چپ $h(7) = 2$. بنابراین علاجه‌دهی در هیتوگرام ظاهر شده. پس این نحوه گذار وابسته به جهش است.
 با توجه به اینکه در این روش که از scale تا حدود مستقل است و به نقطه اولیه وابسته نیست ارجحیت دارد. دقت می‌کنیم که با در نظر داشتن نقطه اولیه، در chain code دهه باستانی برای پیدا کردن min integer code انجام شود.

(-) ابتدا کد دو شکل را می‌نویسیم:

Non-Convex: 0766066443542220210

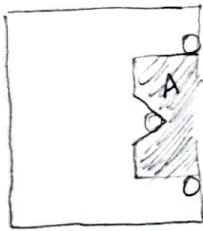
Convex: 07765443311

اگر رقم اول از سمت چپ را کنار بگذاریم، رقم‌ها باستانی تری باشند.

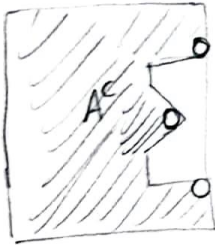
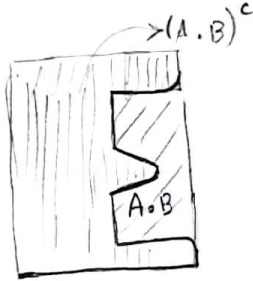
$$(A \cdot B)^c = ((A \oplus B) \ominus B)^c$$

$$\text{ناتج : } \begin{cases} (A \oplus B)^c = A^c \oplus \hat{B} \\ (A \ominus B)^c = A^c \ominus \hat{B} \end{cases}$$

$$\rightarrow (A \cdot B)^c = (A \oplus B)^c \oplus \hat{B} = (A^c \oplus \hat{B}) \oplus \hat{B} = A^c \circ \hat{B} \overset{\text{ناتج } B}{=} A^c \circ B$$



$B \odot$

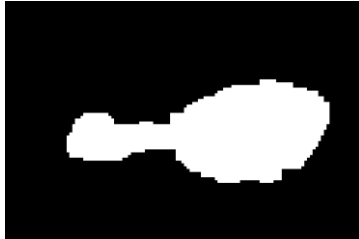


$A^c \circ B$

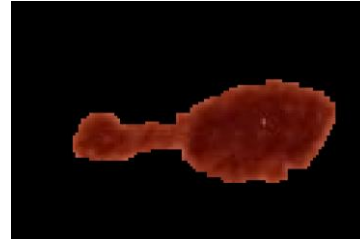
١. الف)

```
se1 = strel("square", 7);  
se2 = strel("square", 3);  
img1Enh = imdilate(img1Bin, se1);  
img1Enh = imerode(img1Enh, se2);
```

final mask



hit



miss



original image



ب)

```
se1 = strel("square", 3);  
img2Enh = imerode(img2Bin, se1);  
img2Enh = imdilate(img2Enh, se1);
```

final mask



hit



miss



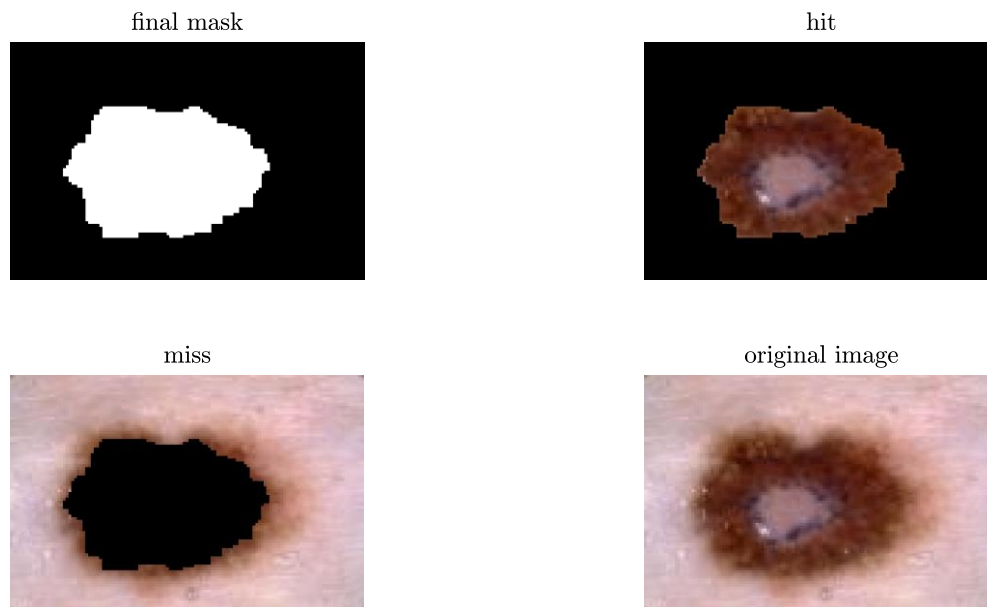
original image



(ج) عملیات و seهای استفاده شده بصورت زیر هستند:

```
se1 = strel("square", 5);
se2 = strel("square", 3);
img3Enh = imdilate(img3Bin, se1);
img3Enh = imclose(img3Enh, se1);
img3Enh = imfill(img3Enh,
"holes");
img3Enh = imerode(img3Enh, se2);
```

و نتیجه بصورت زیر شد:



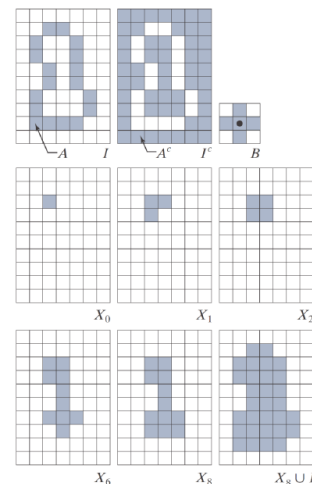
اگر از دستور **imfill** استفاده نمی کردیم می بایست الگوریتم زیر¹ را اجرا می کردیم که در آن ابتدا یک نقطه درون حفره را انتخاب می کنیم و الگوریتم را تا همگرا شدن ادامه می دهیم.

› Hole Filling Formulation:

$$X_k = (X_{k-1} \oplus B) \cap I^c$$

› Start inside the hole

› Repeat until convergence



(د) عملیات و seهای استفاده شده بصورت زیر هستند:

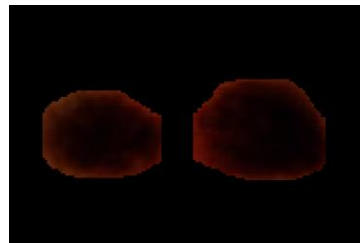
```
img4Enh = imopen(img4Bin,  
strel("square", 17));  
img4Enh = imerode(img4Enh,  
strel("square", 10));  
img4Enh = imdilate(img4Enh,  
strel("square", 7));  
img4Enh = imopen(img4Enh,  
strel("square", 20));
```

و نتیجه بصورت زیر شد:

final mask



hit



miss



original image



(هـ)

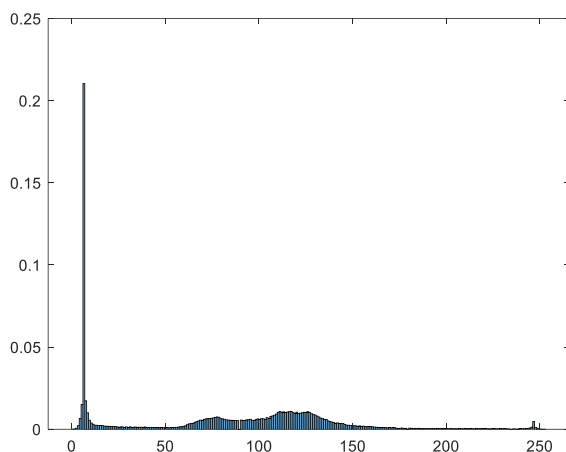
first component



second component

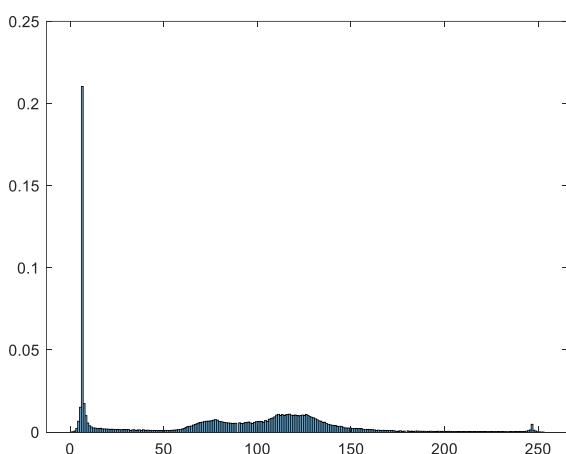


number of components = 2



```
brain.jpg features
mean = 79.4222
variance = 3239.7252
uniformity = 0.049588
entropy = 6.4437
```

(ب)



```
sample.png features
mean = 79.4222
variance = 3239.7252
uniformity = 0.049588
entropy = 6.4437
```

بله؛ بی‌شمار تصویر دیگر با ویژگی‌های یکسان وجود دارد.

(ج)

```
glcms1 = graycomatrix(img1, "NumLevels", 256);
glcms2 = graycomatrix(img2, "NumLevels", 256);
```

ابعاد این ماتریس مربعی برابر تعداد سطح روشنایی است که در این قسمت برابر 256×256 است.

(د)

```
brain.jpg features
Contrast = 114.3506
uniformity = 0.037457
Homogeneity = 0.43554
Entropy = 10.3673
```

```
sample.png features
Contrast = 2.984
uniformity = 0.046276
Homogeneity = 0.7526
Entropy = 7.1545
```

هیستوگرام دو تصویر متفاوت ممکن است عیناً مثل هم شود و بنابراین ویژگی‌هایی که از آن استخراج می‌شود یکسان خواهد شد. اما با استفاده از GLCM احتمال کمی وجود دارد که برای دو تصویر متفاوت GLCMها یکسان شود. بنابراین ویژگی‌هایی که با

استفاده از GLCM به دست می‌آیند برای دو تصویر متفاوت با احتمال زیادی متفاوت خواهند بود و همانطور که دیده می‌شود ویژگی‌های به دست آمده برای دو تصویر داده شده بسیار متفاوت است، در حالیکه با استفاده از pdf ویژگی‌ها یکسان به دست آمد. (ه) برای کاهش سایز ماتریس GLCM سطوح روشنایی را کوانتیزه می‌کنیم و تعداد سطوح را از ۲۵۶ به ۶۴ می‌رسانیم. در این صورت سایز ماتریس GLCM برابر 64×64 می‌شود. محاسبه ماتریس GLCM سنگین است به خصوص زمانی که با تصاویر پزشکی (در مرتبه ۱ میلیون پیکسل) سر و کار داریم محاسبه این ماتریس سنگین و طاقت فرسا می‌شود. هم‌چنین سایز ۲۵۶ نیز بزرگ است و استخراج ویژگی به کندی صورت می‌پذیرد. بنابراین برای محاسبه سریع‌تر از ماتریس GLCM با سایز کوچک‌تر استفاده می‌شود.

(و) قدرمطلق تفاضل دو سطح روشنایی بین دو پیکسل بصورت GLDM تعریف می‌شود^۲. با در نظر گرفتن سطح روشنایی به صورت تابعی از مختصات تصویر به شکل $f(x, y)$ ، آنگاه برای جابه‌جایی به اندازه $\delta = (\Delta x, \Delta y)$ که در آن Δx و Δy اعداد integer هستند تفاضل grey level بصورت زیر تعریف می‌شود:

$$f_{\delta}(x, y) = |f(x, y) - f(x + \Delta x, y + \Delta y)|$$

در این روش δ بصورت $(0, d), (-d, d), (d, 0), (-d, -d)$ تعریف می‌شود که δ فاصله inter-sample spacing است. در نهایت برای این ۴ فاصله مختلف، pdfها محاسبه می‌شوند و از روی این pdfها ۵ ویژگی حساب می‌شوند که عبارتند از:

a) Contrast

$$CON = \sum_{i=0}^{G-1} i^2 f'(i|\delta) \quad (3.13)$$

b) Entropy

$$ENT = \sum_{i=0}^{G-1} f'(i|\delta) \log f'(i|\delta) \quad (3.14)$$

c) Mean

$$MEAN = \sum_{i=0}^{G-1} i f'(i|\delta) \quad (3.15)$$

d) Angular second moment

$$ASM = \sum_{i=0}^{G-1} [f'(i|\delta)]^2 \quad (3.16)$$

e) Inverse difference moment

$$IDM = \sum_{i=0}^{G-1} \frac{f'(i|\delta)}{i^2 + 1} \quad (3.17)$$

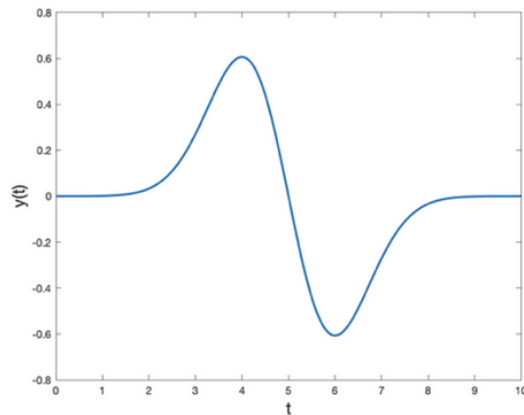
² Texture Feature-based Document Image Retrieval, Fahime Alaei

GLRM ماتریسی است که از آن برای استخراج ویژگی‌های texture استفاده می‌شود. یک grey level run بصورت یک خط از پیکسل‌ها با شدت روشنایی مشخص در یک جهت خاص تعریف می‌شود. تعداد این grey level run ها همان grey level run length است و تعداد رخداد آن‌ها را run length value می‌نامیم.^۳

³ Texture Feature Analysis for Different Resolution Level of Kidney Ultrasound Images, Wan Nur Hafsha Wan Kairuddin and Wan Mahani Hafizah Wan Mahmud 2017, IOP Conf. Ser.: Mater. Sci. Eng. 226 012136

۳. الف) یکی از مشکلات DFT این است که اطلاعات فرکانسی global را استخراج می‌کند. به عبارت دیگر فرکانس‌هایی که بصورت پایدار در سیگنال حضور دارند. بنابراین در بسیاری از کاربردها (مانند پردازش سیگنال ECG) استفاده از DFT پاسخگو مساله نیست و از تبدیل ویولت استفاده می‌شود که در آن سیگنال به جای تصویر شدن روی انواع سیگنال‌های سینوسی روی موجک‌ها تصویر می‌شود.

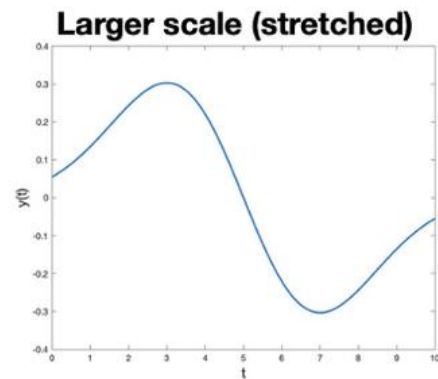
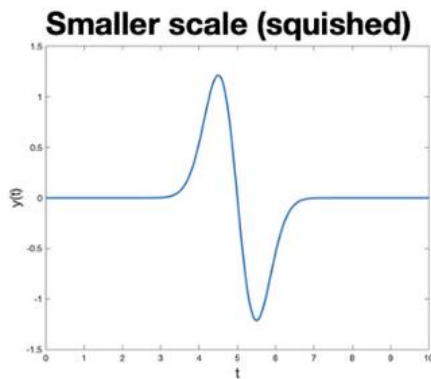
یک موجک، نوسانی موج گونه است که در مکان یا زمان جابه‌جا می‌شود. هر موجک دو ویژگی دارد که عبارتند از scale که فشرده یا باز بودن موجک را تعیین می‌کند و location که محل موجک را در زمان یا مکان تعیین می‌کند.



$$-(x-b)e^{\frac{-(x-b)^2/(2a^2)}{\sqrt{2\pi}a^3}}$$

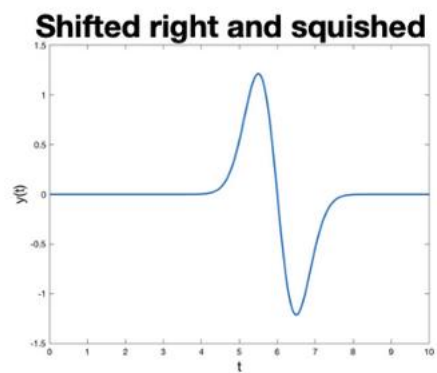
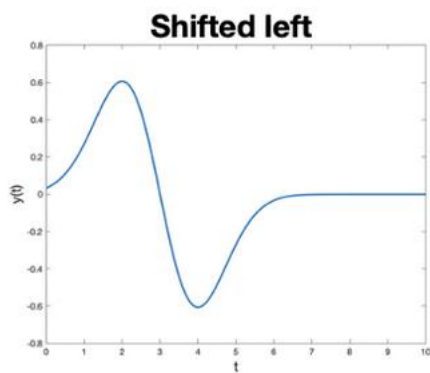
**First derivative of
Gaussian Function**

در شکل بالا پارامتر a باز و بسته بودن ویولت را تعیین می‌کند. هر چه مقدار آن را کوچکتر انتخاب کنیم، ویولت جمع تر می‌شود و برعکس.



a

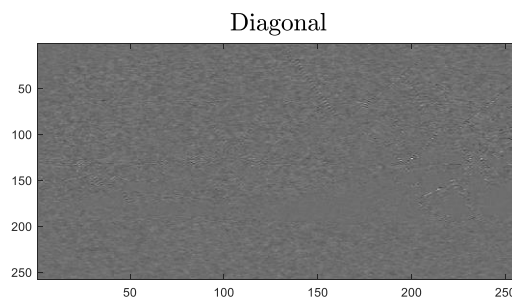
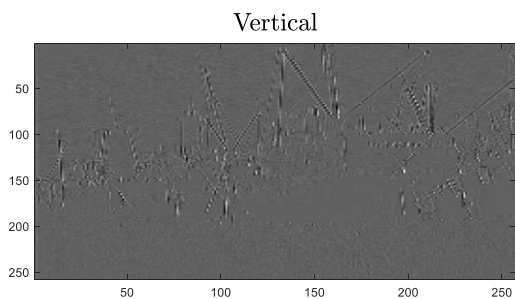
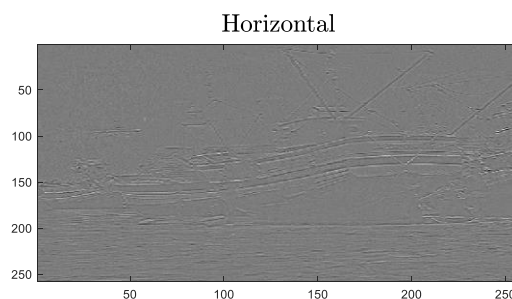
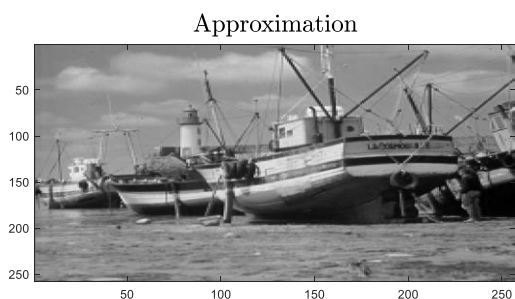
پارامتر b محل موجک را تعیین می‌کند و با کاهش آن به سمت چپ می‌رود و برعکس.



b

در واقع می‌خواهیم بدانیم که چقدر از هر موجک در سیگنال موجود است که از این نظر بسیار شبیه به مفاهیم DFT است. بنابراین سیگنال موجک با سیگنال اصلی کانالو می‌شود و به این ترتیب ضرایب به دست می‌آیند.^۴

(ب)



(ج)

reconstruction error = 20.8285

⁴ <https://towardsdatascience.com/the-wavelet-transform-e9cfa85d7b34>

reconstructed image



original image



(د)

Wavelet Transform for Image Compression

original image



reconstructed image (95%)



reconstructed image (40%)



reconstructed image (5%)



reconstruction error (95%) = 20.6407
reconstruction error (40%) = 20.4699
reconstruction error (5%) = 113.3241

(هـ)

using wavelet transform
Compression Ratio (95%) = 1.0204:1
Compression Ratio (40%) = 1.0988:1
Compression Ratio (5%) = 3.0561:1

Fourier Transform for Image Compression

original image



reconstructed image (95%)



reconstructed image (40%)



reconstructed image (5%)



Compression Ratio (95%) = 1.0657:1

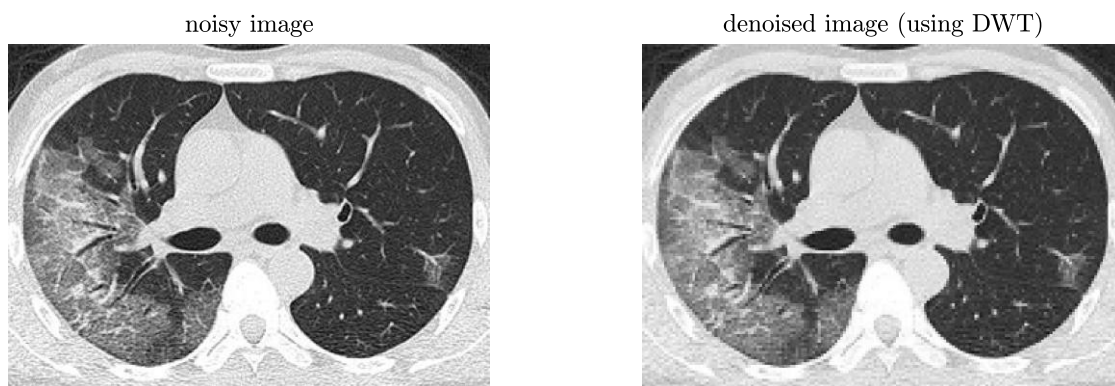
Compression Ratio (40%) = 1.1059:1

Compression Ratio (5%) = 1.3527:1

تعداد ضرایب DFT و DWT در مرتبه یکسانی (حدوداً 26k) به دست آمد. مشاهده می‌شود اگر درصد یکسانی از ضرایب را نگه داریم، عملکرد DFT حدوداً بهتر است. به ازای ۵٪ در DWT عملاً چیزی از تصویر باقی نمانده و بنابراین این فشرده سازی چندان کارآمد نخواهد بود. در کل به نظر می‌رسد از نظر ذخیره‌سازی DFT عملکرد بهتری دارد.

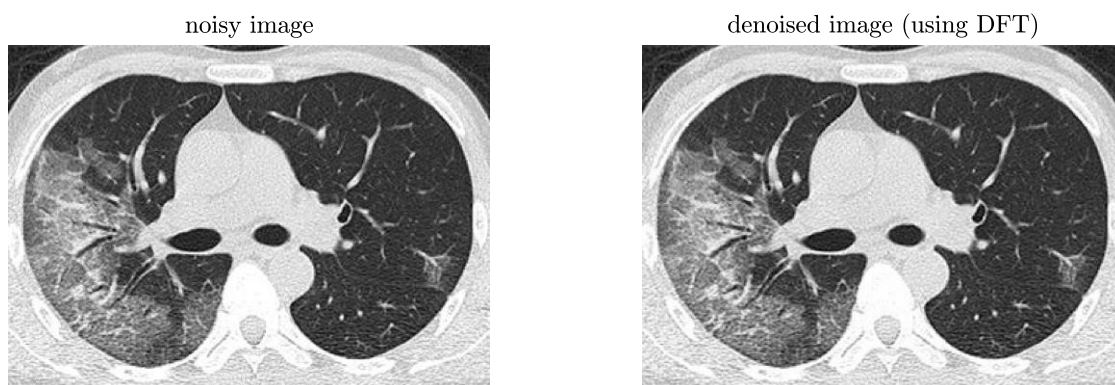
۴. الف) برای این کار از تابع visuShrink.m استفاده کردیم که در آن آستانه برای هر subband بصورت جداگانه تعیین می‌شود. در ادامه با استفاده از hard thresholding عمل حذف نویز را انجام می‌دهیم.

(ب)



عمل حذف نویز در برخی نواحی از تصویر به خصوص در ناحیه استخوانی (مایل به سفید) مشهود است.

(ج)



مشاهده می‌شود DFT برای حذف نویز این تصویر چندان مناسب نیست. از DFT می‌توان برای تصاویری استفاده کرد که psd محتوای تصویر سطح بالاتری نسبت به نویز جمع شونده (معمولا سفید) دارد و در چنین مواردی می‌توان با یک آستانه گذاری ساده و جداکردن محتوای فرکانسی مطلوب، تصویر اصلی را بازسازی کرد. اما در مواردی که نویز پیچیده تر است می‌توان با انتخاب موجک مناسب ابتکار عمل بیشتری داشت.